

Algorithmique et géométrie discrète pour la caractérisation des courbes et des surfaces

David Coeurjolly

18 décembre 2002

*Thèse sous la direction de
Serge Miguet et Laure Tougne*

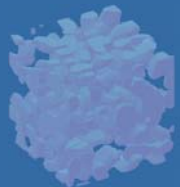
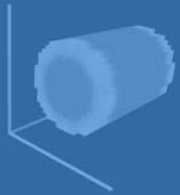
I

Contexte

Analyse d'images

→ Reconnaissance de formes

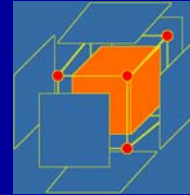
Définir des outils mathématiques et proposer des solutions algorithmiques pour l'analyse d'objets discrets



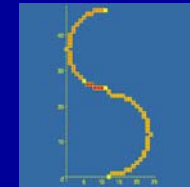
C

Organisation de la présentation

- Notions de base



- Objets fondamentaux
(droites, plans, cercles)



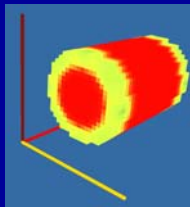
Reconnaissance de cercles discrets

- Métriques discrètes



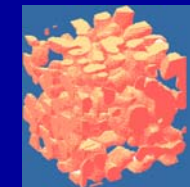
Visibilité et géodésiques discrètes

- Mesures



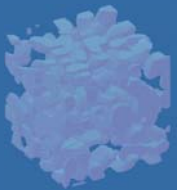
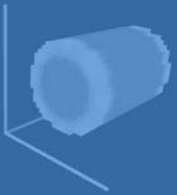
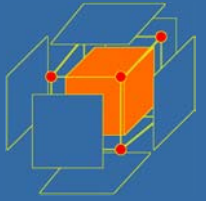
Estimateurs de mesures euclidiennes

- Applications



Analyse d'échantillons de neige

I

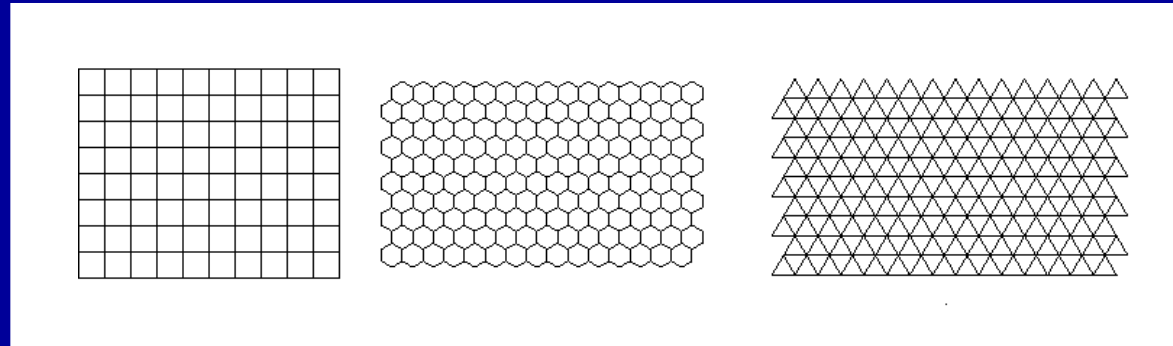


C

Modèle discret

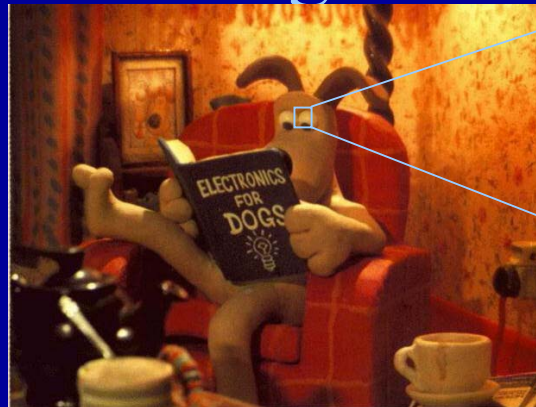
Grille discrète

- Données numériques organisées sur une grille régulière



- Structure des images

- Acquisition
- Stockage



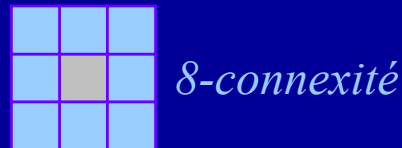
Objets discrets binaires 2D

Généralement issus d'un processus de segmentation

- *Objet discret* : ensemble de pixels connexes

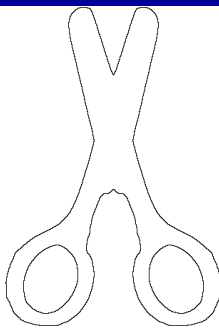
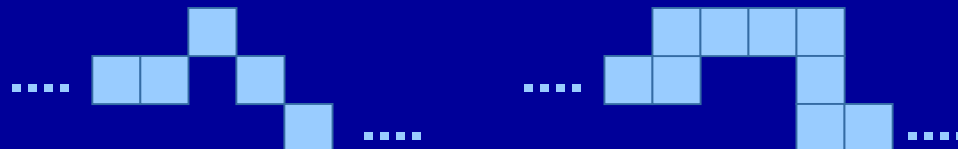


4-connexité



8-connexité

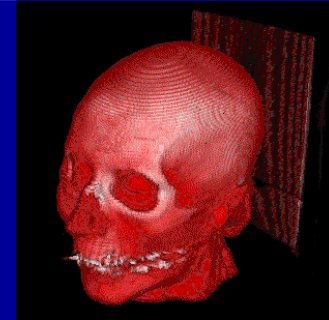
- *Courbe discrète* : séquence de pixels avec exactement deux voisins k -connexes



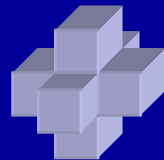
Objets discrets binaires 3D

Acquisition : IRM, scanner, tomographie X

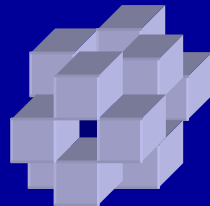
- Imagerie médicale
- Analyse de structures microscopiques



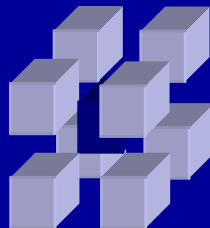
– *Objet discret* : ensemble de *voxels* connexes



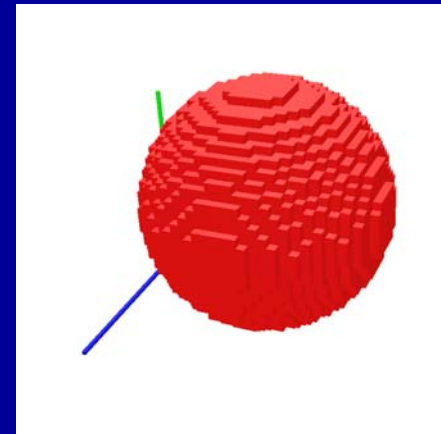
6-connectivité



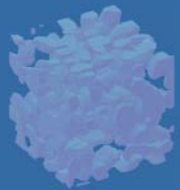
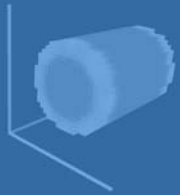
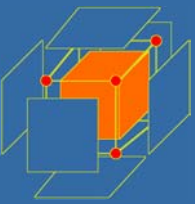
18-connectivité



26-connectivité



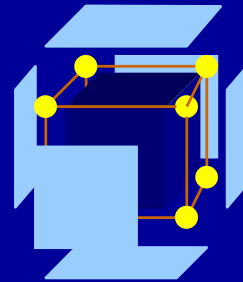
I



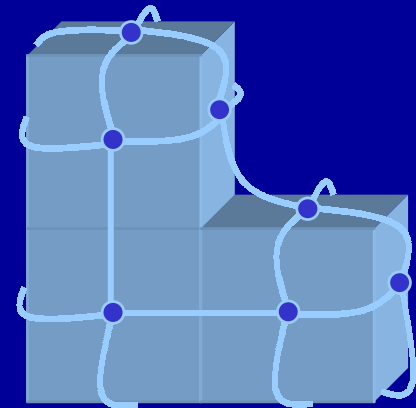
C

Objets discrets binaires 3D

- *Surface discrète* : ensemble de surfels munis d'une relation d'adjacence

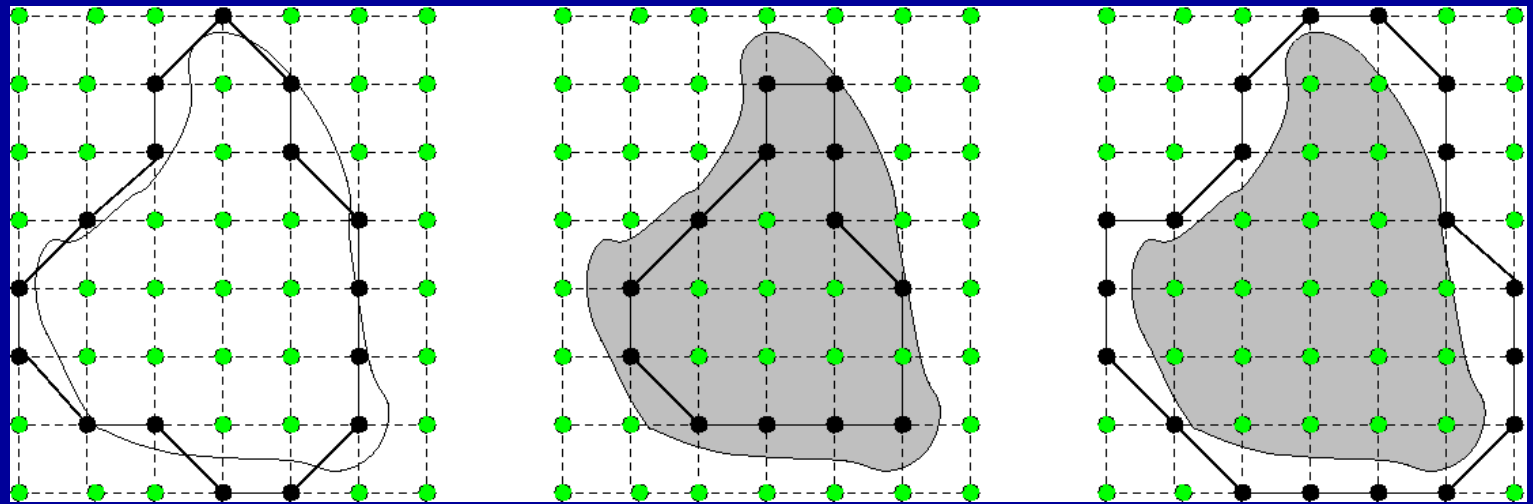


- Cas objets *6-* et *18-connexes* :
 - topologiquement sans trous
 - graphe de degré 4



Processus de discrétisation

Illustration en 2D



GIQ

Grid Intersect Quantization

OBQ

Discrétisation « au plus proche » *Object Boundary Quantization*

Discrétisation interne

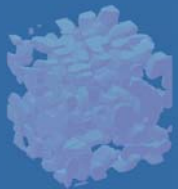
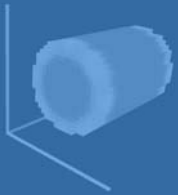
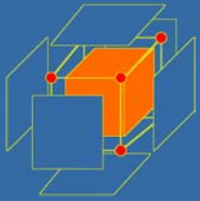
BBQ

Background Boundary Quantization

Discrétisation externe

I

Paradigme de la géométrie discrète



C

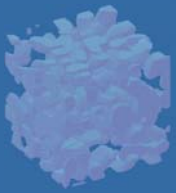
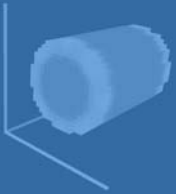
*Manipulation, analyse, visualisation
des objets discrets en exploitant
uniquement la donnée « image »*

- Aucune interpolation par une forme continue
- Algorithmes basés sur des nombres entiers

- Pas d'erreurs d'arrondi

*- Utilisation de la théorie des nombres et de
l'arithmétique*

I



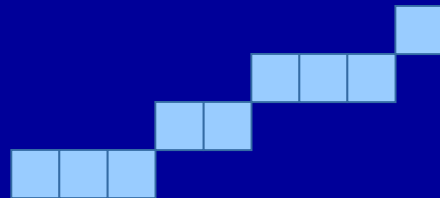
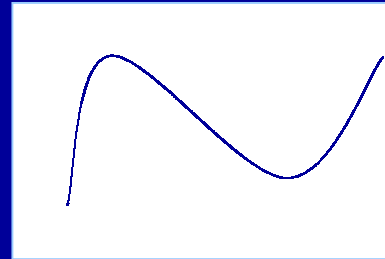
C

Reconnaissance des objets fondamentaux *le cercle discret*

Problème de la reconnaissance

- *Géométrie euclidienne* : description comportementale

$$y=f(x)$$



Est-ce un morceau de droite discrète ?

Est-ce un arc de cercle discret ?

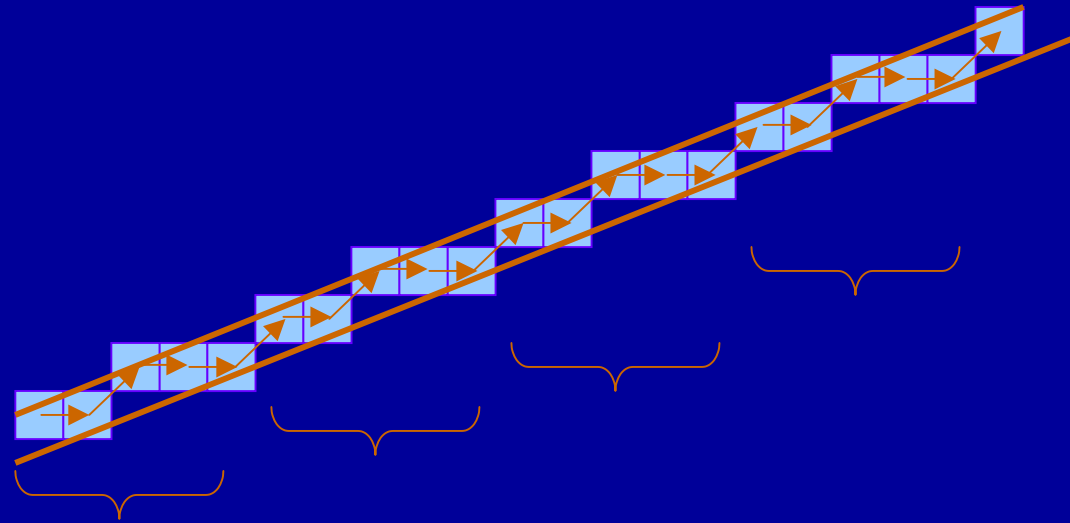
- *Définition par discrétisation* :

Un ensemble de pixels est un morceau de droite discrète s'il existe une droite réelle dont la discrétisation contient l'ensemble des pixels

Droite discrète

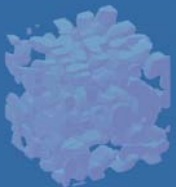
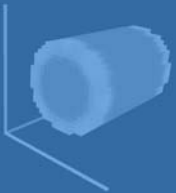
- Structures périodiques dans les droites discrètes [Bernouilli 1771]
- Propriétés locale de la courbe [Hübler, Wu]
- Propriétés géométriques [Kovalevsky]
- Propriétés arithmétiques [Debled-Reveillès]
- Analyse de la pré-image [Dorst, Bruckstein, Vittone-Chassery]
- Programmation linéaire [Megiddo, Tajine-Françon]
- *Reconnaissance* : est-ce qu'un ensemble de pixels est un morceau de droite discrète ?
- *Segmentation* : comment décomposer une courbe discrète en segments de droite discrète ?

Exemple de droite discrète



- *Critères locaux*
- *Caractérisation géométrique* → *pré-image dans l'espace dual, programmation linéaire*
- *Caractérisation arithmétique* → *périodicité, théorie des nombres, fraction continue, ...*
- *Propriétés statistiques (loi de Bernouilli)* $P(\nearrow)$ $P(\rightarrow)$ 14

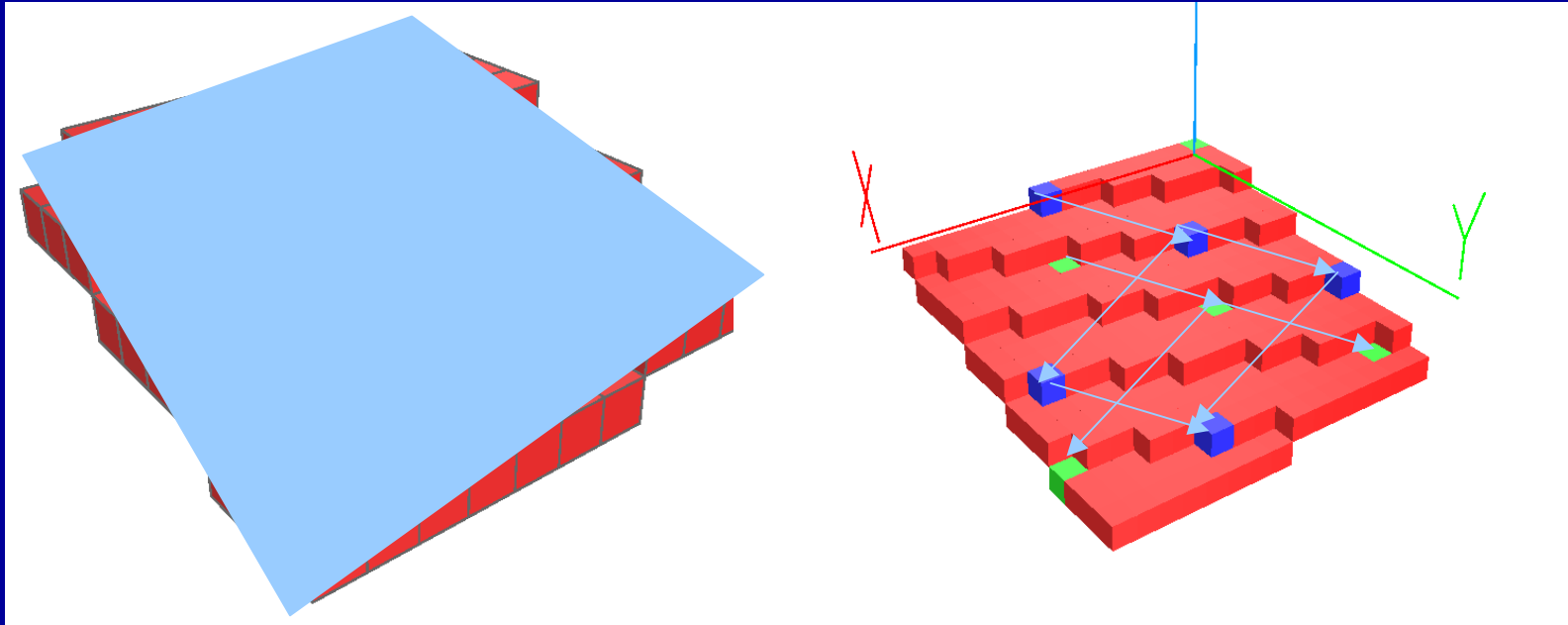
I



C

I

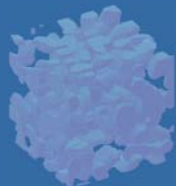
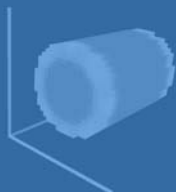
Plan discret



- *Critères locaux*
- *Caractérisation géométrique* → *pré-image dans l'espace dual, programmation linéaire*
- *Caractérisation arithmétique* → *périodicité, théorie des nombres, fraction continue, ...*
- *Propriétés statistiques (loi empirique)* $P(\blacktriangleleft, \blacktriangleright, \blacklozenge)$ ¹⁵

C

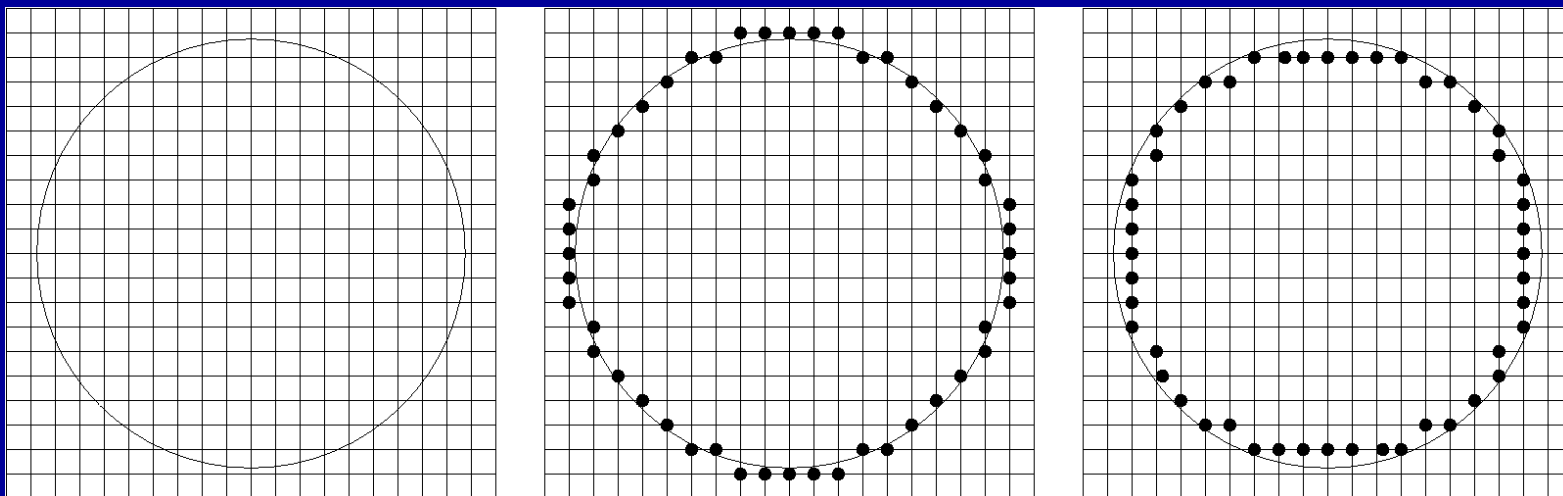
I



C

Cercle discret

- *Construction*

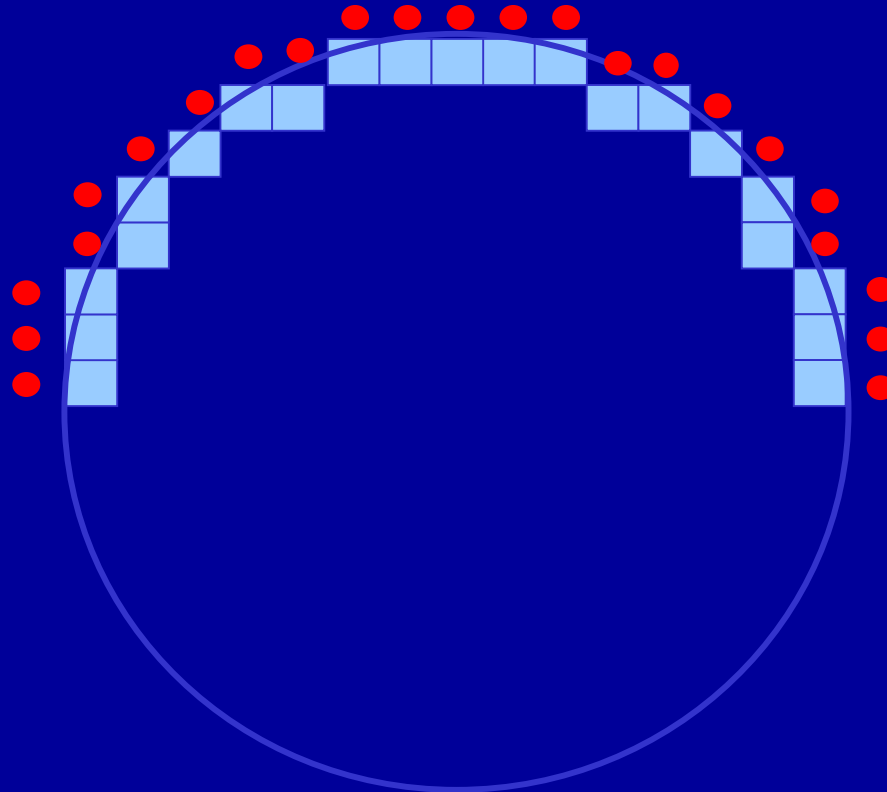


Notion de séparation du disque discret de son complémentaire par un cercle réel

I

Cercle discret et séparabilité par arc

- Schéma de reconnaissance



⇒ Test de séparabilité de deux ensembles de points par un arc de cercle 17

C

I

Cercle discret et séparabilité par arc

Problème : soient S, T deux ensembles finis de points dans \mathbb{R}^2

Comment séparer S de T par un arc de cercle ?

Un tel cercle de centre ω vérifie :

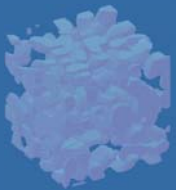
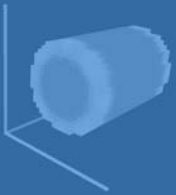
$$\forall s \in S, \forall t \in T, \text{dist}(\omega, s) < \text{dist}(\omega, t)$$

Arc center domain (acd) :

$$\text{acd}(S, T) = \bigcap H(s, t) \quad (\text{cellule de Voronoï généralisée})$$

C

I



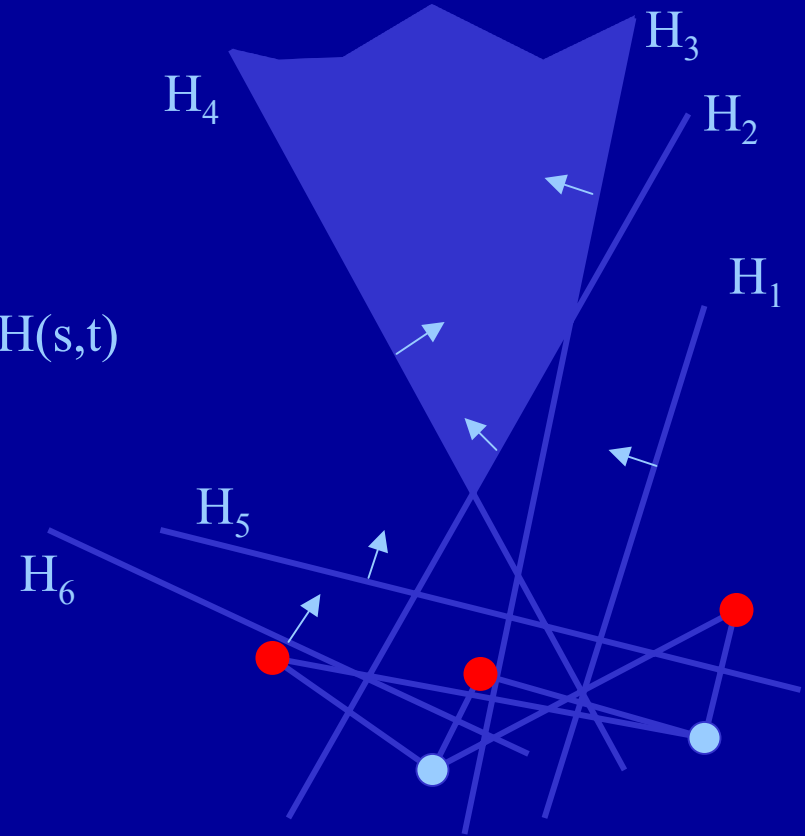
C

Séparation de deux ensembles en géométrie algorithmique

$H(s,t)$: médiatrice de $[st]$,
 s appartient au demi-espace $H(s,t)$

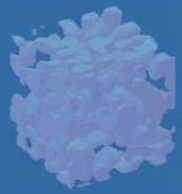
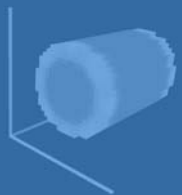
● T

● S



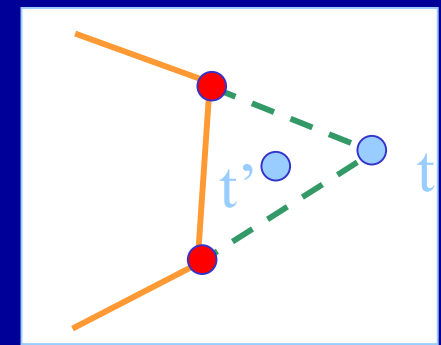
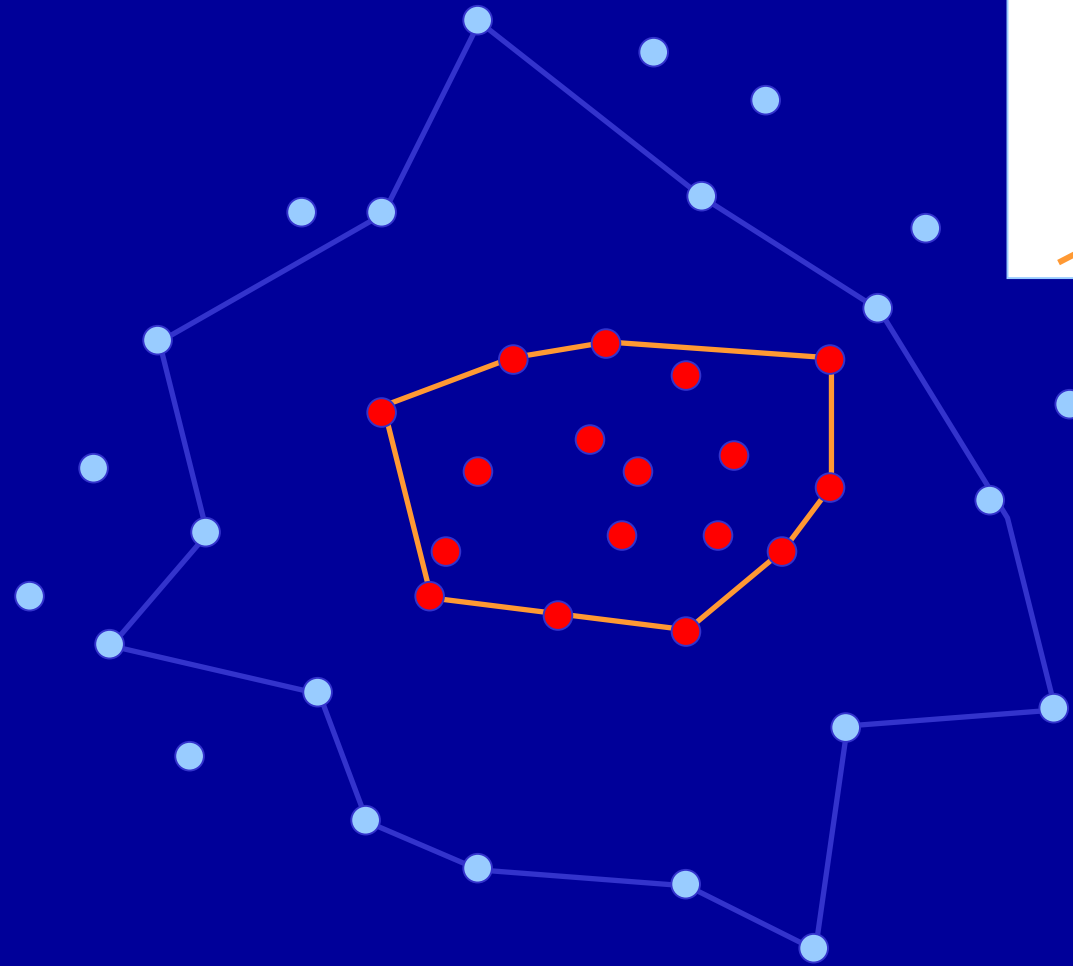
Calculer l'acd \Leftrightarrow problème de programmation linéaire

I



C

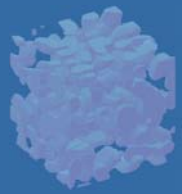
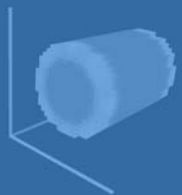
Optimisation du test



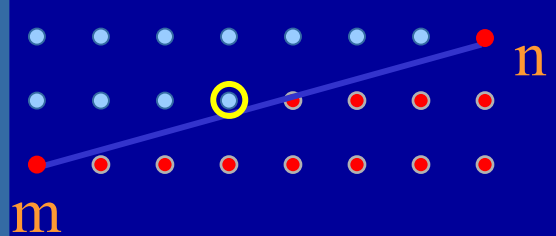
I

Cas discret

courbe polygonale quasi-circulaire



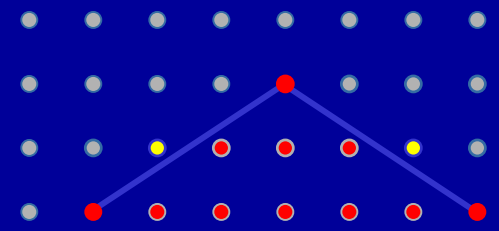
C



Séparer les points rouges des points bleus :

- considérer m et n
- considérer le *point de Bezout* du segment $[mn]$

- $u=(a,b)$ vecteur directeur tel que $\text{pgcd}(a,b)=1$
- $v=(i,j)$ vecteur de Bezout tel que $aj-bi=1$



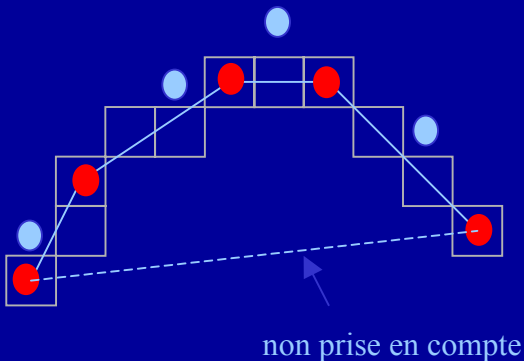
\Rightarrow Une courbe polygonale convexe est dite quasi-circulaire si :
 $\text{acd}(\{\text{sommets}\}, \{\text{points de Bezout}\}) \neq \emptyset$

I

Cas discret

courbe discrète quasi-circulaire

Prop : une courbe discrète convexe est la discrétisation (OBQ) d'un arc de cercle si et seulement si on peut séparer les points de la courbe de son complémentaire par un arc de cercle



Enveloppe convexe de la courbe discrète :

- sommets $\{v_i\}$
- points de Bezout $\{b_i\}$ associés à chaque arête

Prop \Leftrightarrow l'enveloppe convexe est quasi-circulaire $\Leftrightarrow acd(\{v_i\}, \{b_i\}) \neq \emptyset$

C

Processus général et complexité

1. Segmentation de la courbe en morceaux strictement convexes ou concaves

algorithmes de segmentation en droites discrètes

$O(n)$

2. Construction de la courbe polygonale

enveloppes convexes de courbes discrètes

$O(n)$ et produit N arêtes

3. **Construction des points de Bezout**

calcul dérivé de l'algorithme de division d'Euclide

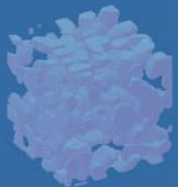
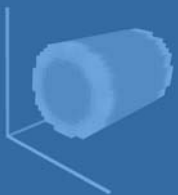
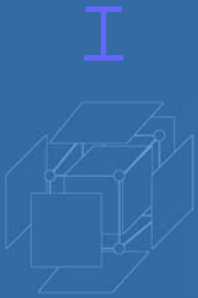
$O(n)$

4. Calcul de l'acd

global ou incrémental

$O(N^2 \log(N))$

avec [Preparata-Shamos]



I

Processus général et complexité

- Borne de Acketa et Zunic :

$$N = O(n^{2/3})$$

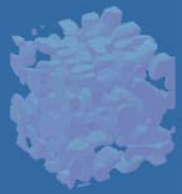
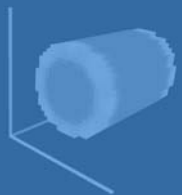
- Reconnaissance et segmentation d'une courbe discrète en arcs de cercle :

$$O(n^{4/3} \log(n))$$

- [Kim 84] : $O(n^3)$
- [Fisk 86] : $O(n^2)$
- [Kovalevsky 90] : $O(n^2 \log(n))$
- [Damaschke 95] : $O(n)$

C

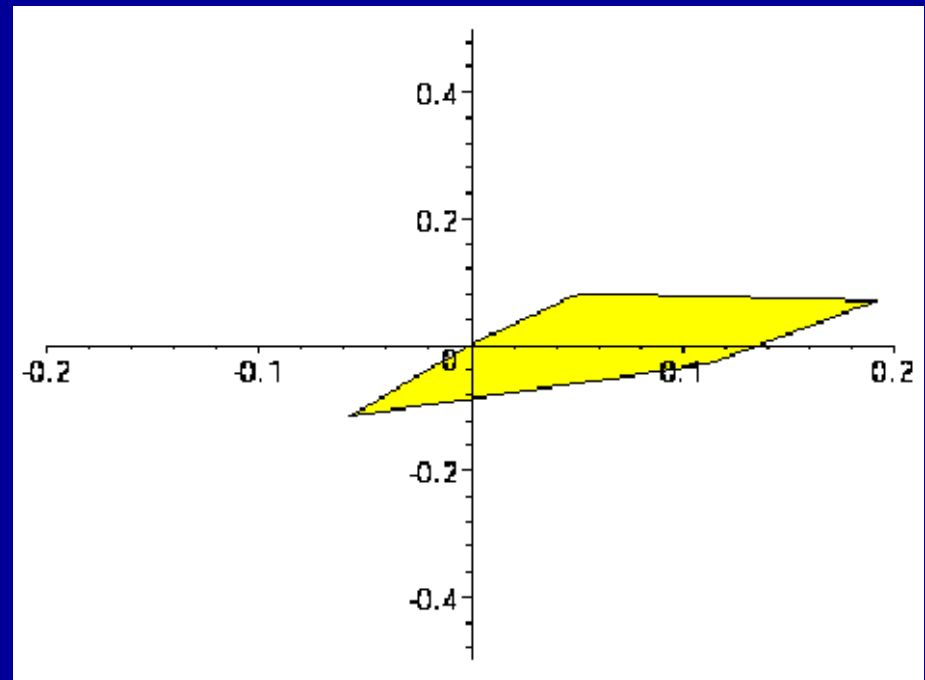
I



C

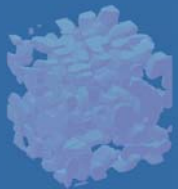
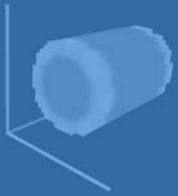
Exemple de reconnaissance

acd d'un cercle discret de rayon 100 centré en (0,0) lorsque l'on ajoute successivement les arêtes

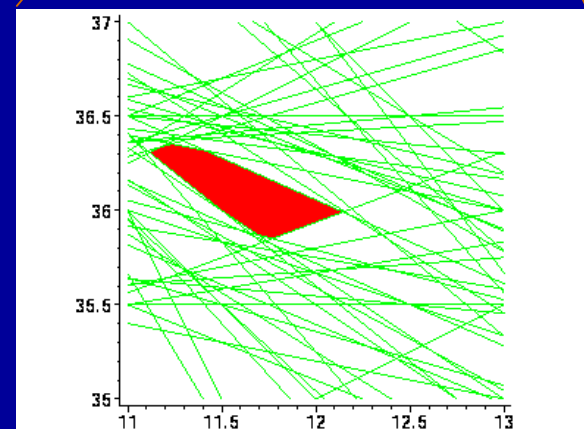
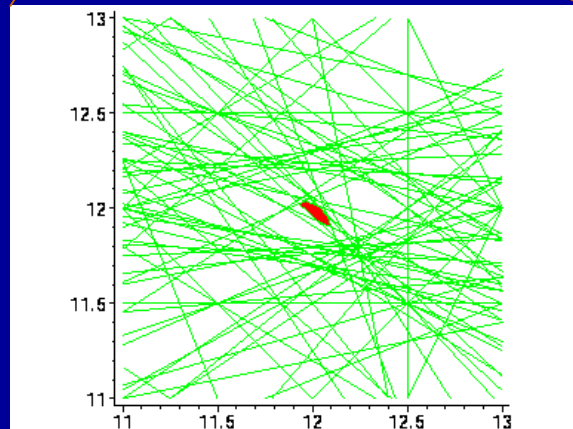
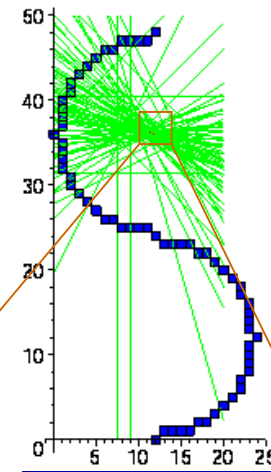
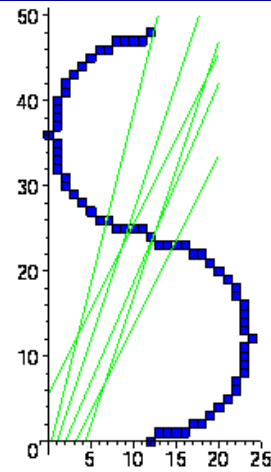
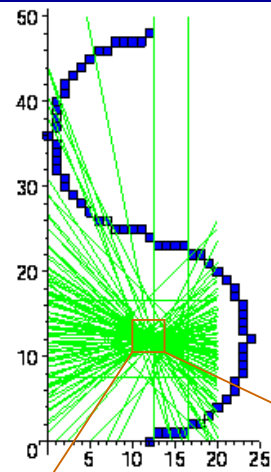
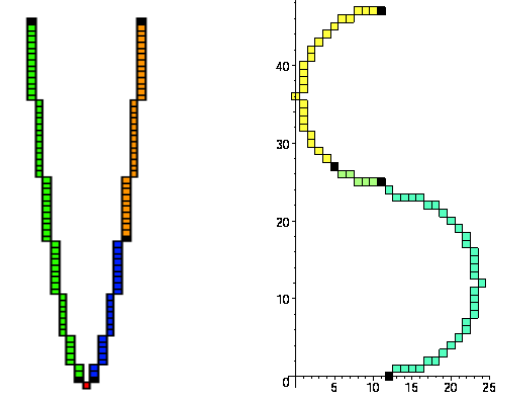


I

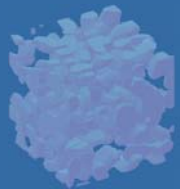
Exemples de segmentation



C



I



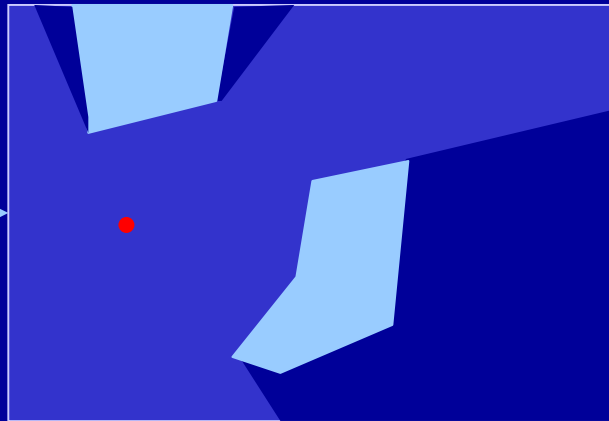
C

Métriques discrètes

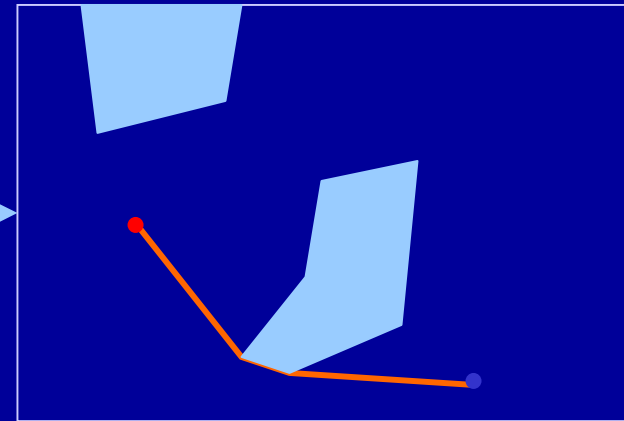
*visibilité et géodésiques
discrètes*

Définition des notions

Visibilité

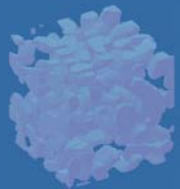
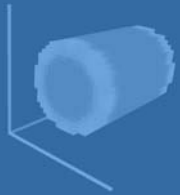


Chemin géodésique



\Rightarrow Notion de métrique géodésique

I



C

Visibilité et géodésiques discrètes

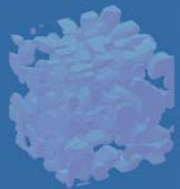
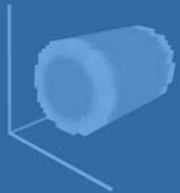
Intérêt théorique :

- Nouvel outil d'analyse pour le modèle
- Métrique euclidienne sur des grilles

De nombreuses applications :

- Planification de trajectoires de robots
- Simulation en physique
- Analyse d'images en imagerie médicale

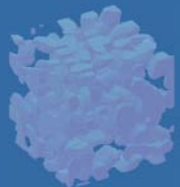
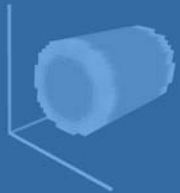
I



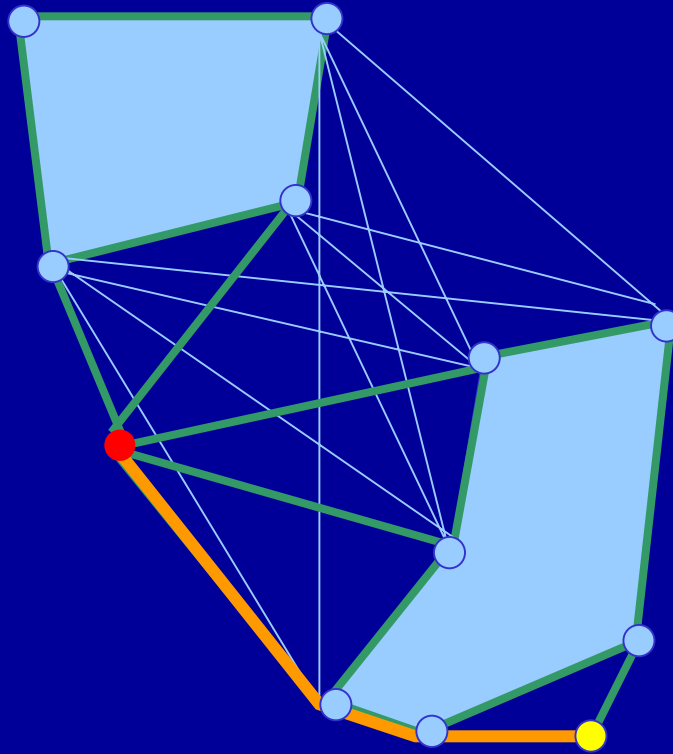
C

I

De la visibilité aux géodésiques en géométrie algorithmique

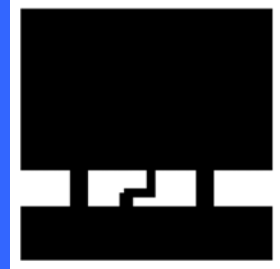


C



1. Calcul du graphe de visibilité
2. Plus court chemin dans un graphe pondéré [Dijkstra]

Visibilité discrète



- Étant donnés s , t et un ensemble de pixels « obstacles », s et t sont mutuellement visibles s'il existe un segment discret joignant s à t et ne contenant aucun pixel obstacle.

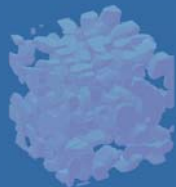
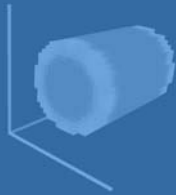
Théorème : Pour tester la visibilité de s et t , il nous suffit de considérer uniquement deux pixels obstacles

Visibilité restreinte : Si les obstacles sont triés en ordre polaire de centre s , les deux pixels obstacles se trouvent en $O(\log(m))$

I

Visibilité restreinte

algorithme et complexité



C

Algorithme

Parcours en largeur du domaine

1. Maintien de la structure d'ordre polaire de centre s contenant les pixels obstacles
2. Lors de la visite du point t , on teste $v(s,t)$
 1. Soit (u,l) la localisation de t dans le tri polaire
 2. Résoudre le test avec u, l, s et t
3. Si un obstacle est rencontré, mise à jour de la liste des obstacles

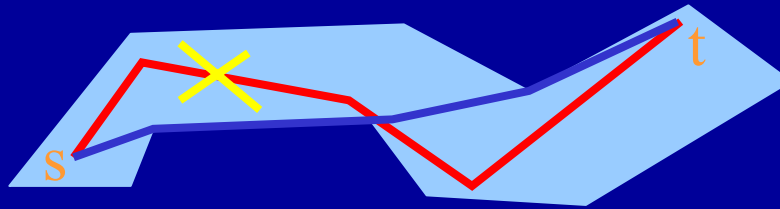
} $O(\log(m))$

} $O(1)$

} $O(\log(m))$

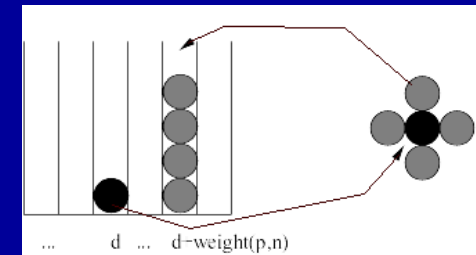
\Rightarrow complexité globale en $O(n \log(m))$

De la visibilité aux géodésiques discrètes



$$d_{geodeses}(s, t) = \sum_{i=0}^n d_{euc}(p_i, p_{i+1})$$

- Structure adaptée (*files de priorité*)
- Algorithme de *Verwer* (A^*) pour estimer le plus court chemin

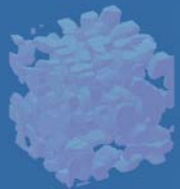
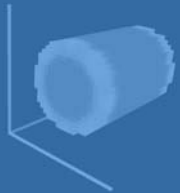


Principes de l'algorithme :

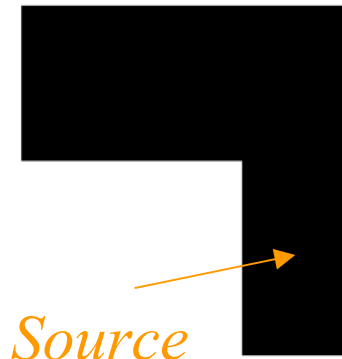
1. parcours en largeur du domaine
2. à la visite d'un point t
 - si t est visible, on mémorise t dans la structure de files
 - sinon t est susceptible d'être la source d'une nouvelle propagation en visibilité, on le marque et le mémorise

I

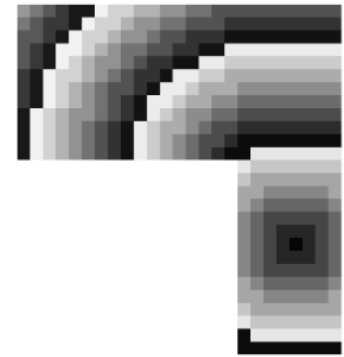
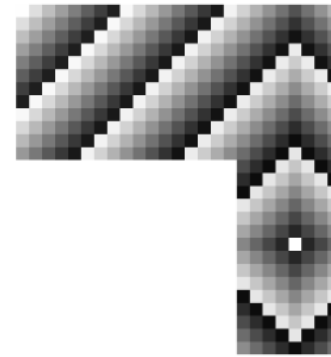
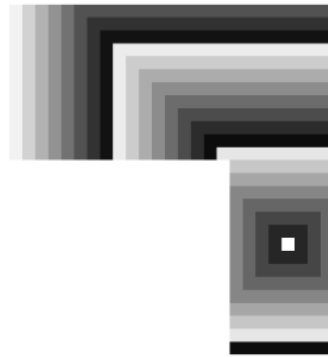
Exemples



C



Source



Domaine

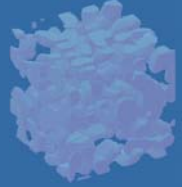
Distance de l'échiquier (d_8)

Distance de Manhattan (d_4)

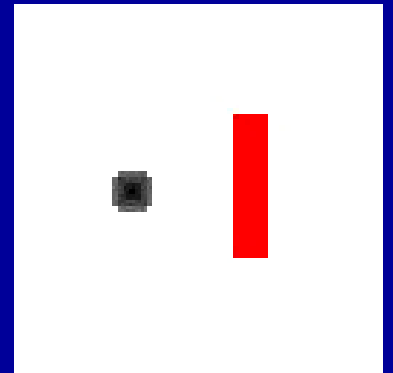
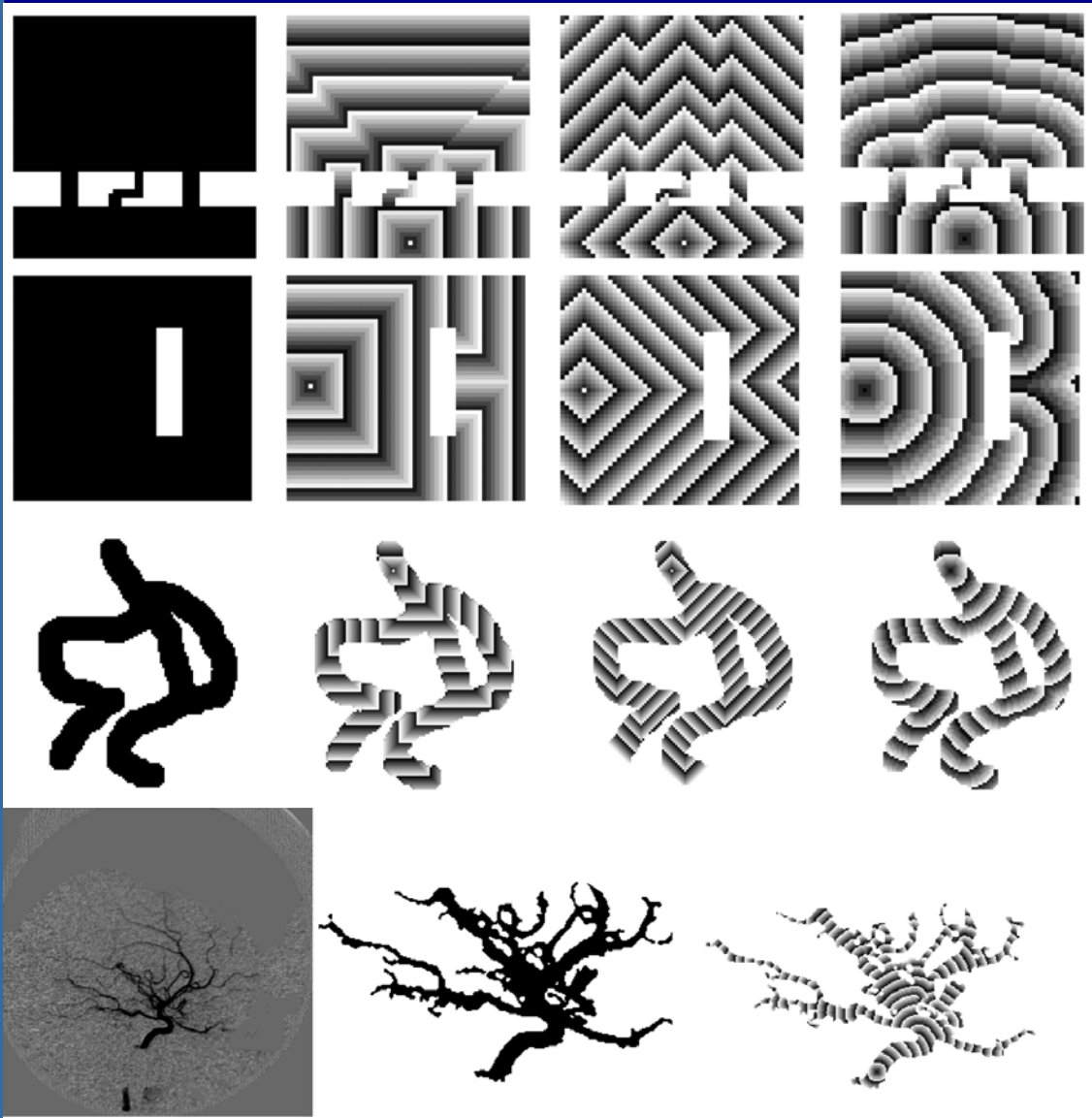
Métrique proposée

I

Exemples



C

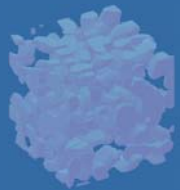
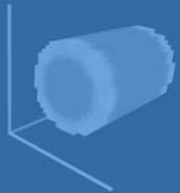


I

Visibilité et géodésiques 3D

Test de visibilité : tracé de droites discrètes 3D

- ☺ Facile à mettre en place (*même structure qu'en 2D*)
- ☹ Complexité ($O(nd)$ où d est le diamètre du domaine)

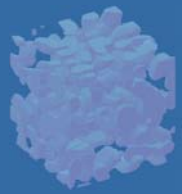
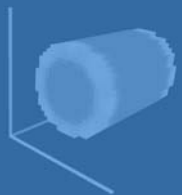


C

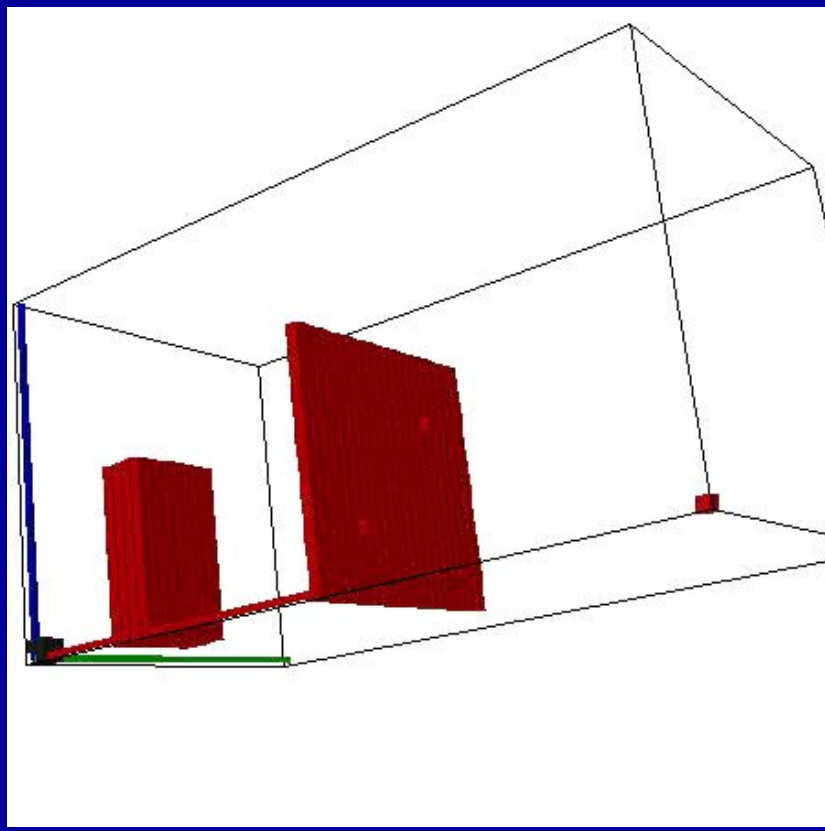
I



Exemple

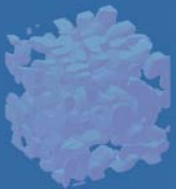
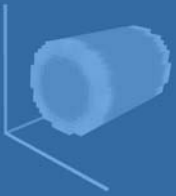


C

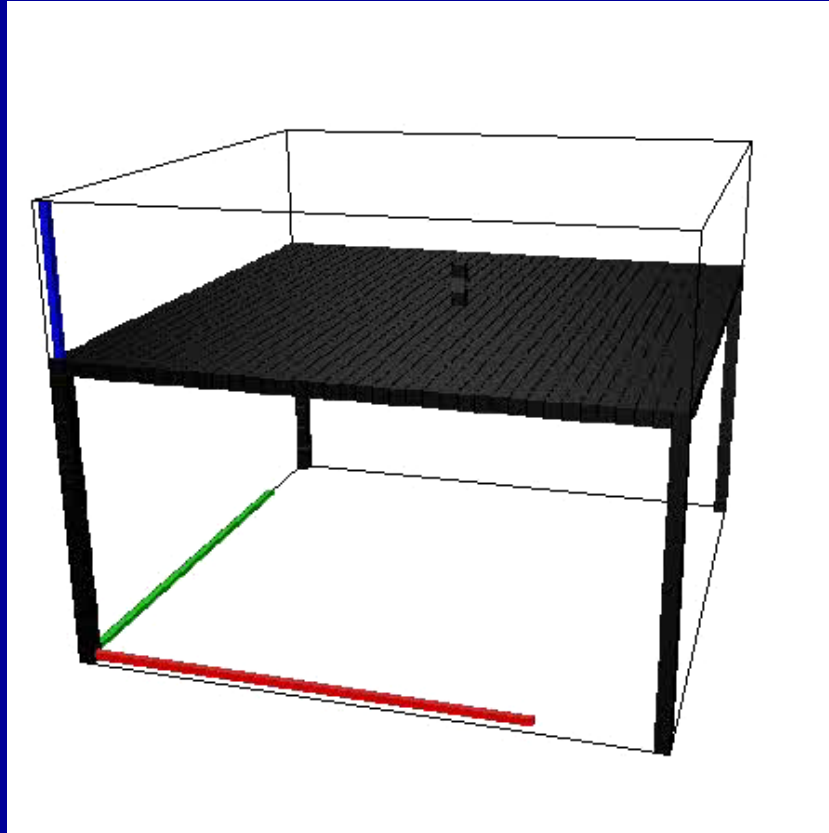


I

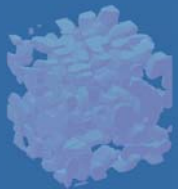
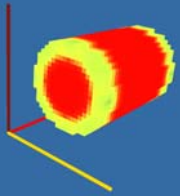
Exemple



C



I

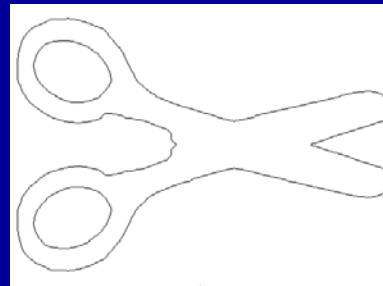


C

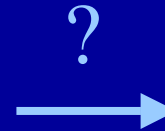
Mesures sur des objets discrets

Objectif : *signature discrète*

- *Reconnaissance de formes par l'analyse du contour*



- Périmètre
- Aire
- Normales
- Courbure
- ...



- Périmètre
- Aire
- Normales
- Courbure
- ...



- Périmètre
- Aire
- Normales
- Courbure
- ...



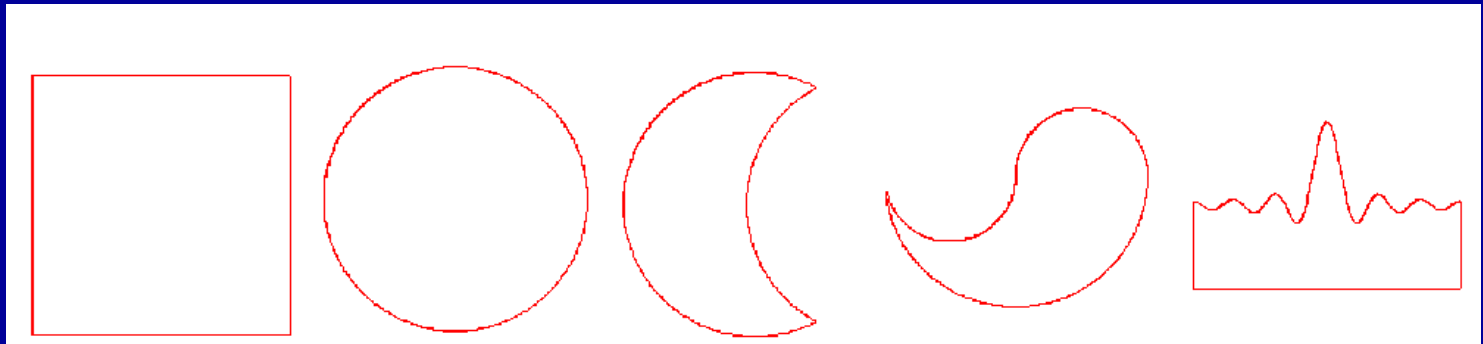
- Périmètre
- Aire
- Normales
- Courbure
- ...

⇒ *Comparaison des signatures normalisées*

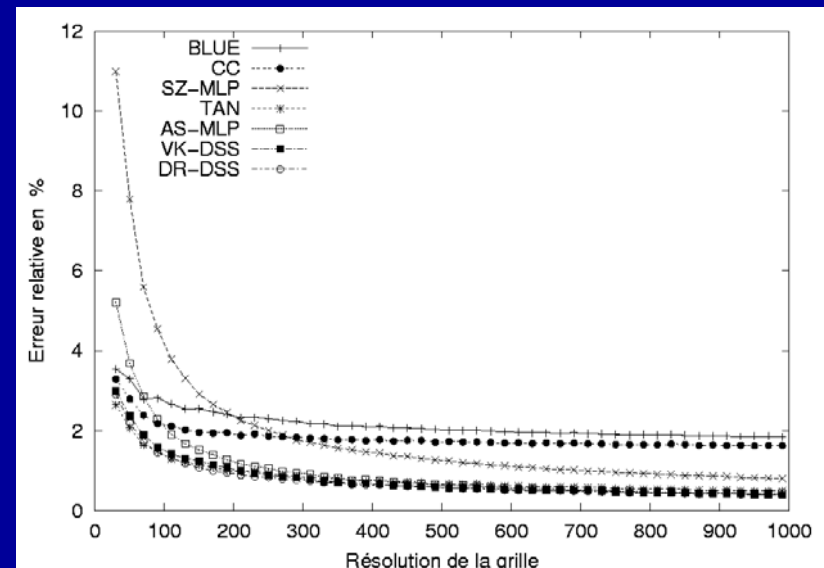
I

Contexte formel : *convergence asymptotique*

Prouver la convergence de l'estimateur lorsque la résolution augmente



- preuve mathématique
- évaluation expérimentale



C

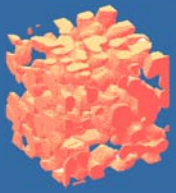
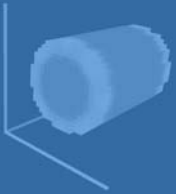
I

Estimateurs discrets proposés

	Estimateur	Complexité	Convergence
Courbes discrètes 2D	Longueur	$O(n)$	oui
	Normales/Tangentes	$O(n)$	oui
	Courbure	$O(n)$	oui
Courbes discrètes 3D	Longueur	$O(n)$	oui
	Tangentes	$O(n)$	oui
	Courbure	$O(n)$	oui
Surfaces discrètes	Aire	$O(n)$	oui
	Normales	$O(n)$	oui
	Courbure Moyenne	$O(dn)$	non
	Courbure Gaussienne	$O(dn)$	non

⇒ signature discrète multi-grille

I



C

Applications

*analyse des micro-structures de
la neige*

I

Projets

- Extraction de primitives pour la classification de profils de stèles (*Maison de l'Orient Méditerranéen*)

Utilisation du graphe de courbure pour *vectoriser* une courbe discrète

- Modèle déformable discret (*LaBRI*)

Signature discrète multi-grille \leftrightarrow Énergie de forme multi-grille

- Analyse microscopique d'échantillon de neige (*CEN Météo-France*)



C

I

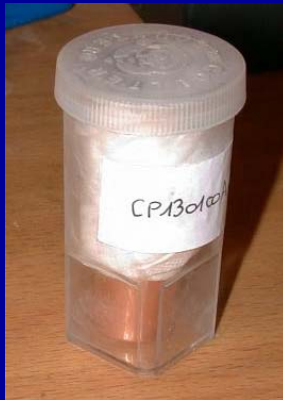
Analyse des micro-structures de la neige

Application : modélisation d'avalanches par analyse microscopique d'échantillons de neige

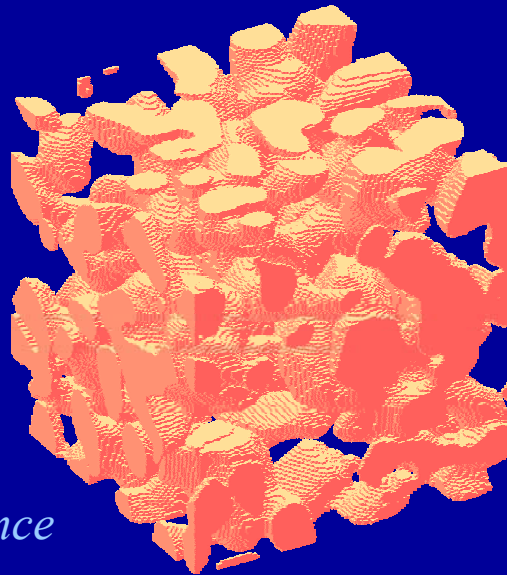
Échantillon de neige

Volume binaire

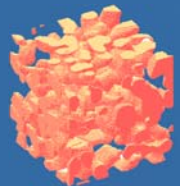
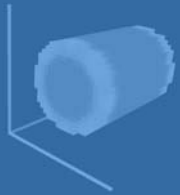
Caractéristiques



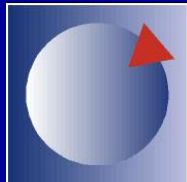
CEN – Météo France



- Porosité
- Surface spécifique (densité)
- Courbure (métamorphose de neige)



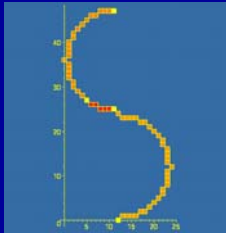
C



METEO
FRANCE

I

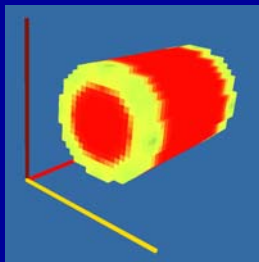
Conclusion



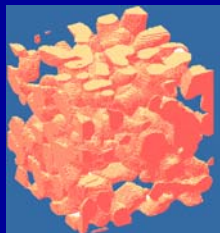
- Théorème de structure de la pré-image d'un plan discret
- Liens entre reconnaissance de droites/plans et statistique
- **Reconnaissance et segmentation en cercles discrets**



- Transformée en distance euclidienne en dimension arbitraire et en temps optimal
- Squelettes de formes en dimension arbitraire basés sur le diagramme de Voronoï discret
- **Visibilité et géodésiques discrètes en dimension 2 et 3**



- **Estimateurs de mesures euclidiennes sur des objets discrets**



- Représentation vectoriel d'une courbe discrète 2D grâce au graphe de courbure
- Modèles déformables discrets
- **Analyse de micro-échantillons de neige**

C

Conclusion

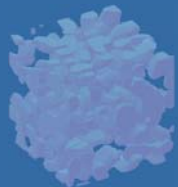
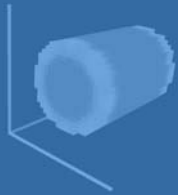
Géométrie algorithmique

- complexité algorithmique
- structures de données
- programmation linéaire

Géométrie discrète

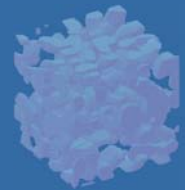
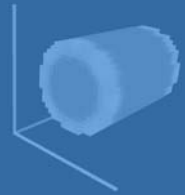
- objets/algorithmes fondamentaux
- arithmétique

Caractérisation de formes discrètes

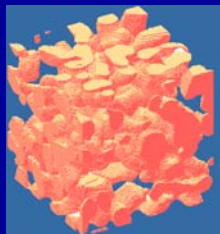
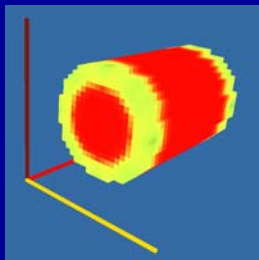
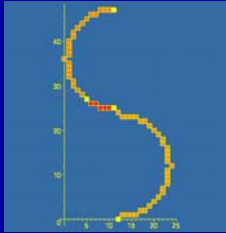


I

Perspectives



C



• Test

• F

• I

• B

• Utilisa

• cercle

• Gén

• R

• C

• l'a

• Rec

• Algorith

• Com

• C

• I

• R

• Cons

• technique

• Estim

• In

• I

• ut

• Ut

• Utilisa

• radiothérapie

• Génération efficace de

reconnaissance statistique de plans

squelettes de formes en dimension n

teurs de courbure surfaciques globaux

modèles déformables discrets

es

ES de

ions obtenus à

es

calcul de géo

es discrètes

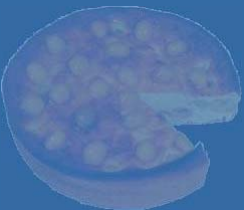
ns de neige

le déformable discret et

stio

es discrètes

I



C

Merci...

Algorithmique et géométrie discrète pour la caractérisation des courbes et des surfaces

David Coeurjolly

18 décembre 2002

Thèse sous la direction de

Serge Miguet et Laure Tougne

Espace dual et droites discrètes

Droite réelle : $y = \alpha x + \beta$

Discrétisation GIQ :

$$\Delta(\alpha, \beta) = \{(x, y) \in \mathbb{Z}^2 \mid -0.5 \leq \alpha x + \beta - y < 0.5\}$$

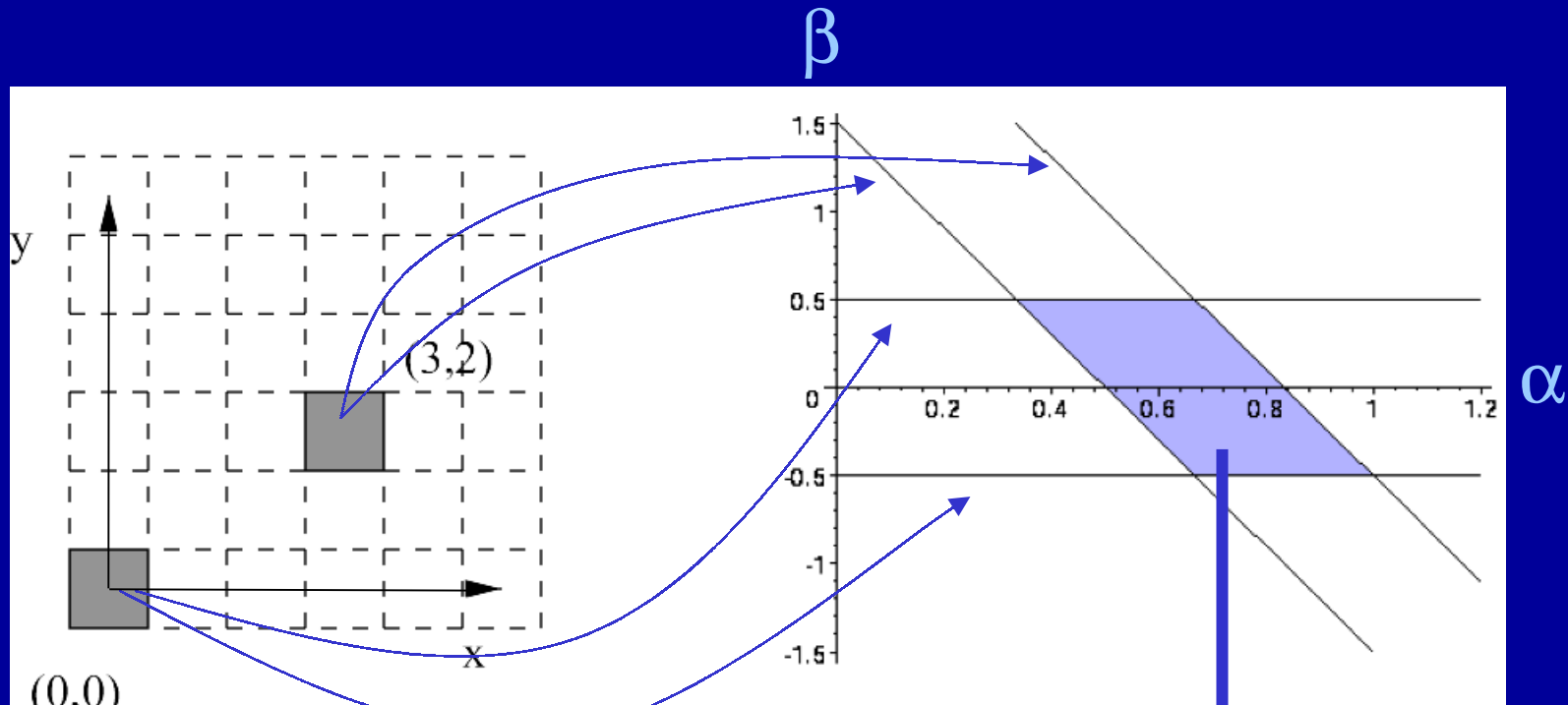
Ensemble des droites réelle se discrétisant dans (X, Y) :

$$S_p = \{(\alpha, \beta) \in \mathbb{R}^2 \mid (X, Y) \in \Delta(\alpha, \beta)\}$$

Bande dans l'espace (α, β)

- $L_1 : \alpha X + \beta - Y > -0.5$
- $L_2 : \alpha X + \beta - Y \leq 0.5$

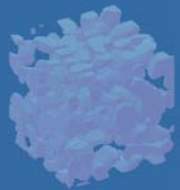
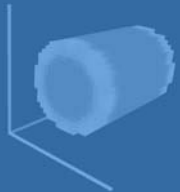
Espace dual et droites discrètes



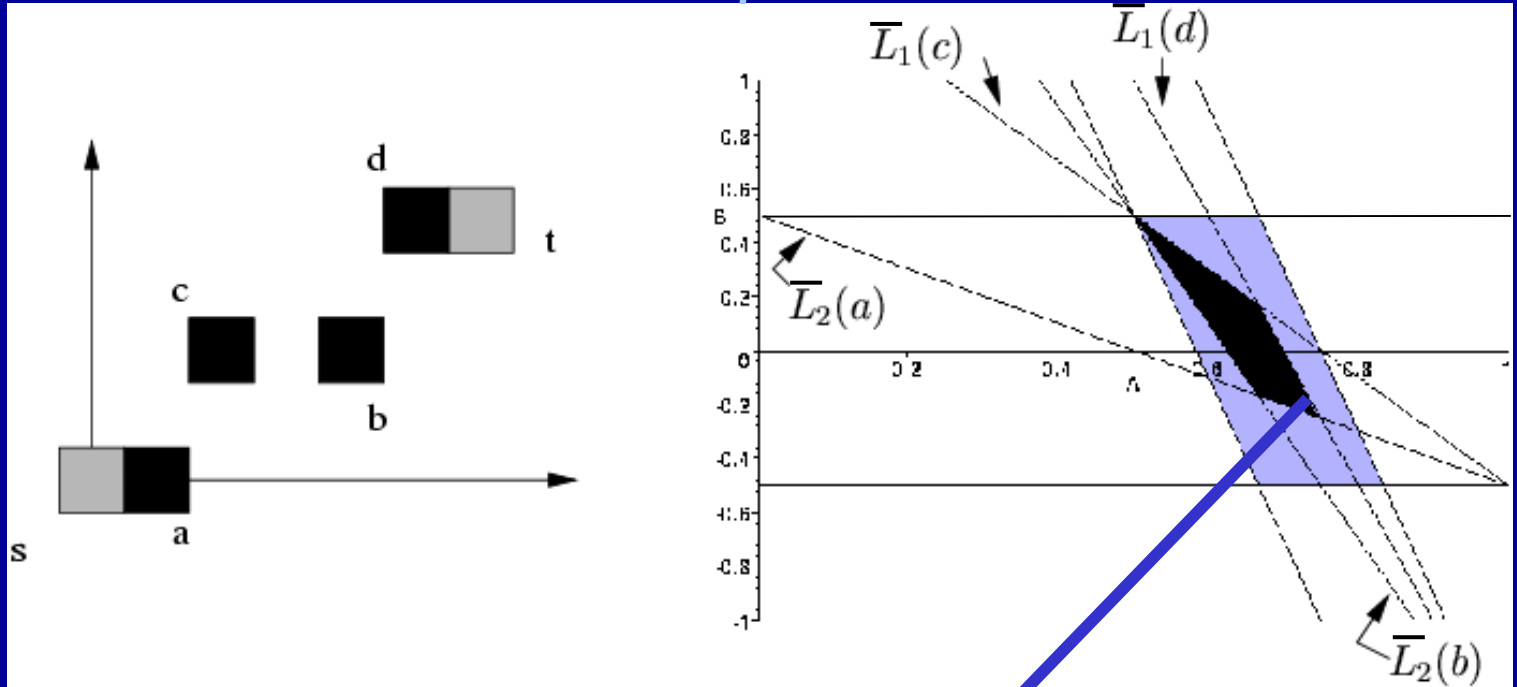
$\mathcal{S}(s,t)$: ensemble des droites dont la discrétisation contient s et t

I

Espace dual et droites discrètes *pixels obstacles*



C

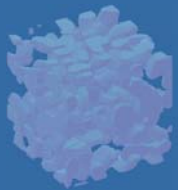
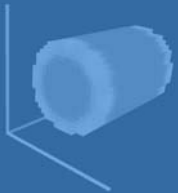
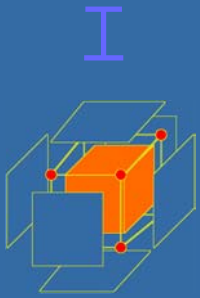
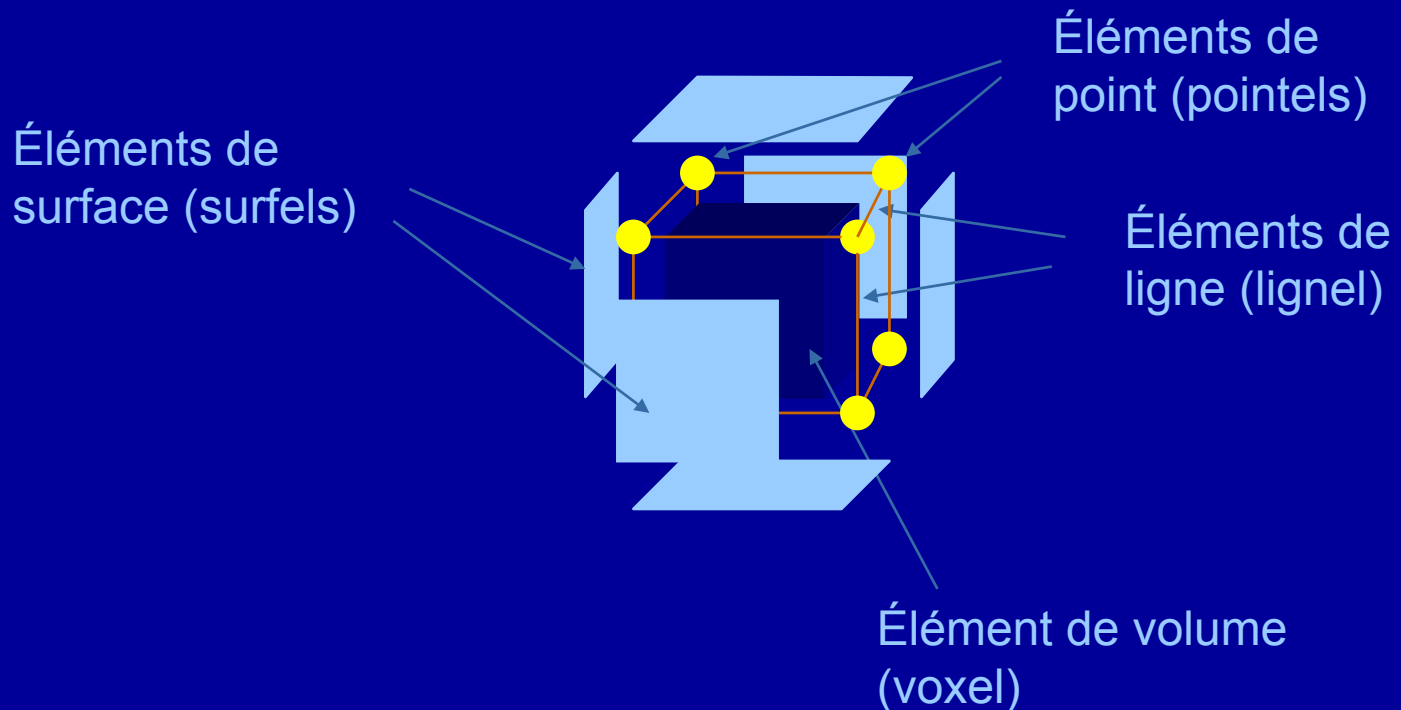


*Ensemble des droites dont la discrétisation
contient s, t mais ne contient pas a, b, c ni d*

α

Objets discrets binaires 3D

- Décomposition cellulaire des éléments de base



I

C